

طراحی کنترل کننده فازی PI^λ برای کنترل زاویه گام در توربین بادی سرعت متغیر

فاطمه فرجامی^۱، کارشناس ارشد، اردشیر محمدزاده^۲، استادیار، علی احمدیان^۳، استادیار، سجاد شجاع مجیدآباد^۴، استادیار

۱- دانشگاه سمنان- سمنان- ایران

khaterhfarjami@yahoo.com

۲-دانشکده فنی دانشگاه بناب-بناب- ایران

a.mzadeh@ubonab.ac.ir

۳-دانشکده فنی دانشگاه بناب-بناب- ایران

ali.ahmadian1367@gmail.com

۴-دانشکده فنی دانشگاه بناب-بناب- ایران

shoja.sajjad@ubonab.ac.ir

چکیده: از وظایف مهم سیستم کنترل در توربین‌های بادی ثابت نگهداشت توان در مقدار نامی در بادهای با سرعت بیشتر از سرعت نامی می‌باشد زیرا عدم ثابت نگهداشت توان در مقدار نامی در ناحیه سوم محنی توان توربین، سبب آسیب زدن به توربین و افزایش تنش‌های مکانیکی می‌شود. این هدف با کنترل زاویه گام در ناحیه سوم از محننی توان توربین بادی محقق می‌شود. در این پژوهش به طراحی کنترل کننده فازی تناسبی_انتگرالی مرتبه کسری (فازی PI^λ) برای زاویه گام توربین بادی پرداخته شده است و سپس با کنترل کننده تناسبی_انتگرالی مرتبه کسری (PI^λ) و تناسبی_انتگرالی مرتبه صحیح(PI) مورد مقایسه و ارزیابی قرار داده شده است و نتایج بر روی یک مدل معیار توربین بادی ۱۰۰ کیلووات سرعت متغیر طراحی و شبیه‌سازی شده‌اند. نتایج شبیه‌سازی‌ها نشان داده‌اند که کنترل کننده فازی PI^λ با توجه به معیار RMSE عملکرد بهتری در مقایسه با کنترل کننده PI^λ و کنترل کننده PI کلاسیک داشته است و کنترل کننده فازی PI^λ کنترل هموارتر و تثبیت مناسب‌تری بر روی سیگنال‌های توان خروجی و سرعت ژنراتور در ناحیه سوم عملکرد داشته است.

واژه‌های کلیدی: کنترل زاویه گام، توربین بادی، کنترل کننده PI مرتبه کسری، کنترل کننده فازی PI^λ

تاریخ ارسال مقاله: ۱۳۹۸/۰۵/۲۲

تاریخ پذیرش مقاله: ۱۳۹۸/۱۲/۱۱

نام نویسنده‌ی مسئول: اردشیر محمدزاده

نشانی نویسنده‌ی مسئول: بناب، دانشگاه بناب

بهینه‌سازی چند متغیره برای طرح بهینه پارتو^۳ کنترل کننده‌های PID مرتبه‌کسری فازی برای پلت با عدم قطعیت‌های پارامتریک استفاده شده است. در [۶] همچنین از PID دوتابع هدف متنضاد در طراحی پارتول کننده PID مرتبه‌کسری فازی استفاده شده است. مرجع [۷] به تنظیم پارامترهای کنترل کننده PID مرتبه‌کسری فازی تطبیقی پرداخته است که با استفاده از تئوری کنترل مدرن، پارامترهای مشخصی از یکتابع هدف را به صورت آنلاین تشخیص می‌دهد و در واقع با استفاده از روش فازی به تنظیم کنترل کننده تطبیقی پرداخته است که این کنترل کننده را کنترل کننده تطبیقی فازی نامیده است. در سال‌های اخیر کنترل کننده PID مرتبه‌کسری موضوع بسیار مهمی برای دانشمندان شده است، زمانی که آن را با کنترل کننده‌های PID معمولی مقایسه کرده‌اند، به این نتیجه رسیدند که زمان نشت^۴ کوتاه‌تر است و اوورشووت^۵ و نوسان ندارد، همچنین مقاومت بیشتری دارد بویژه هنگامی که سیستم دارای لینک‌های غیرخطی و متغیر با زمان است، اثرات تنظیم عالی است [۷]. به دلیل گسترش روزافرون تولید برق بادی، بهبود روند کنترل توربین‌های بادی با روش‌های کلاسیک یا هوشمند ضروری می‌باشد. یکی از کنترل کننده‌های متداول در سیستم‌های صنعتی، کنترل کننده PI است که علی‌رغم سادگی ساختار از عملکرد قابل قبولی (به ویژه در حوزه سیستم‌های خطی) برخوردار است [۸]. در [۹] و [۱۰] کاربرد کنترل کننده PI برای کنترل توربین‌های بادی آمده است. با این وجود در سیستم‌هایی همچون توربین بادی که از عوامل غیرخطی و نامعینی برخوردار هستند، استفاده از کنترل کننده ساده PI پاسخ مطلوبی ندارد. در [۹] و [۱۰] به علت استفاده از کنترل کننده PI، پارامترهای سیستم کنترل با تغییر سرعت باد و لذا تغییر نقطه کار سیستم، نیاز به تنظیم مجدد دارند. این عیب را می‌توان با استفاده از روش‌های کنترلی غیرخطی کلاسیک (تطبیقی/ مقاوم) و یا با روش‌های کنترلی هوشمند برطرف کرد. در [۱۱] تا [۱۳] از روش کنترلی مدل‌گذشی برای کنترل سیستم توربین بادی استفاده شده است. همچنین در [۱۴] تا [۱۶] از روش‌های هوشمند عصبی_ فازی برای رسیدن به جواب‌های مطلوب در طراحی سیستم‌های کنترل توربین‌های بادی استفاده شده است و نتایج قابل قبولی را داشته است. در مقاله [۱۷] سه ناحیه عملیاتی برای یک توربین بادی نمونه ۵ مگاواتی در نظر گرفته شده است که ناحیه اول برای سرعت‌های کمتر از سرعت مجاز باد می‌باشد که تقریباً ۱۰

۱- مقدمه

انرژی‌های تجدیدپذیر به دلیل دارا بودن مزایای زیست‌محیطی و اقتصادی توجه بیشتری را در سیستم‌های قدرت امروزی به خود جلب کرده است [۱]. ضریب نفوذ این منابع در سیستم‌های قدرت، به خصوص در سطح شبکه‌های توزیع انرژی الکتریکی به صورت مداوم در حال افزایش است. در بین انواع انرژی‌های تجدیدپذیر، انرژی بادی به دلیل قیمت کمتر انرژی تولیدی بیشتر مورد توجه قرار گرفته است. یکی از مسائل مهم در بهره‌برداری از توربین‌های بادی، تنظیم زاویه گام توربین‌ها در سرعت‌های باد بالا می‌باشد [۲]. به طور خلاصه، انتظارات خواسته شده از یک سیستم کنترل زاویه گام توربین‌های بادی شامل موارد زیر است [۳]:

- (۱) مدولاسیون و بهینه‌سازی توان خروجی توربین بادی
- (۲) دست‌یابی به حداقل توان خروجی توربین بادی از طریق دست‌یابی به توان ماکزیمم
- (۳) استفاده از کنترل زاویه گام برای تنظیم توان آبودینامیکی زمانی که سرعت باد نامی بالاست.

در صورت عدم کنترل زاویه گام توربین‌های بادی، کنترل سرعت و توان توربین‌ها انجام نخواهد شد. بنابراین، با فراتر رفتن توان از سرعت نامی خود، بیشینه توان خروجی قابل دسترس نخواهد شد و از نقطه نظر بهره‌برداری بهینه از توربین مطلوب نخواهد شد.

برای کنترل زاویه گام از کنترل کننده‌های متفاوتی استفاده شده است اما امروزه از کنترل کننده‌های PID مرتبه‌کسری ($PID^{\lambda}D^{\mu}$) استفاده زیادی در صنعت می‌شود زیرا دارای دو پارامتر تنظیم بیشتر نسبت به دیگر کننده‌ها می‌باشد و همین موضوع کارایی آن را نسبت به دیگر کنترل کننده‌ها بیشتر می‌کند و باعث بهبود عملکرد سیستم کنترل می‌شود. در مرجع [۴] کنترل کننده PID مرتبه‌کسری فازی بر اساس الگوریتم DPSO^۶ برای بهینه‌سازی بهره‌های کنترل کننده PID مرتبه‌کسری فازی و بهبود کارایی در نیروگاه سیکل ترکیبی شفت یکپارچه^۷ (CCPP) ارائه شده است. در مرجع [۵] تنظیم پارامترهای کنترل کننده $I + PD^{\beta}$ به وسیله‌ی الگوریتم بهینه‌سازی ذرات (PSO)^۸ پیشنهاد شده است و چندین شبیه‌سازی در محیط متلب برای ارزیابی عملکرد کنترل کننده پیشنهادی ارائه شده است. در مرجع [۶] از

^۳ Parto
^۴ Settling time
^۵ Overshoot^۶

^۱ Dynamic particle swarm optimization
^۲ Combined cycle power plant

با یک روتور سه پره می‌باشد. در این مدل کنترل کننده انتگرالی تناسبی مرتبه کسری (FOPI^۸) قرار است که روی زاویه گام عمل کنند تا توان خروجی در حدود توان نامی $4/8$ مگاوات باشد. در بخش کنترلی مقاله [۲۰] چهار ناحیه عملیاتی در رابطه با توان و قدرت باد به طور جداگانه بررسی شده است تا توربین بادی سرعت متغیر در مدل سازی رفتار مطلوبی را از خود نشان بدهد. در مقاله [۲۰] کنترل کننده مرتبه کسری فقط بر روی نواحی دوم و سوم پیاده‌سازی شده است.

در انتهای [۲۰] به سبب اعتبارسنجی کنترل کننده FOPI شبیه‌سازی و مقایسه بین FOPI و کنترل کننده PID مرتبه صحیح انجام شده است و عملکرد خوب این روش را نشان-داده است. مرجع [۲۱] برای کنترل گام توربین بادی، کنترل کننده انتگرالی تناسبی مرتبه کسری و انتگرالی تناسبی مرتبه صحیح و کنترل کننده انتگرالی تناسبی فازی را بر روی یک مدل معیار توربین بادی از نوع سرعت متغیر پیاده‌سازی می‌کند و در آخر نتایج پیاده‌سازی این سه نوع کنترل کننده را با یکدیگر مقایسه می‌کند. همانطور که در مقاله [۲۱] هم بیان شده است، یک مسئله مهم برای سیستم تبدیل انرژی باد، توانایی سیستم‌های کنترل در جمع آوری، تجزیه و تحلیل و پردازش داده‌ها از توربین بادی می‌باشد. ضبط و گرفتن توان برای WECS^۹ اهمیت زیادی دارد و مناسب‌ترین رویکرد برای جذب توان بیشتر توسط روتور، استفاده از سیستم کنترل گام می‌باشد که به واسطهٔ موقعیت‌های مختلف پره‌ها می‌توان زاویه گام را به گونه‌ای مناسب تنظیم کرد تا به هدف نهایی که گرفتن حداکثر توان است، رسید [۲۱]. در طرح استراتژی کنترلی توربین بادی در مقاله [۲۱]، یک سری جنبه‌های مهم مثل سرعت باد، اجزای توربین بادی و عملکردهای آن‌ها در یک سیستم حلقه بسته در نظر گرفته شده است و مانند مقاله [۲۰] [۲۱] چهار منطقه عملیاتی را برای توربین بادی داریم. ساختار کنترل کننده انتگرالی تناسبی فازی مقاله [۲۱] به این صورت است که دو ورودی، یکی خطای کنترلی و دیگری تغییر خطا و همچنین یک خروجی که سیگنال کنترلی در نظر گرفته شده است. در انتها [۲۱] شبیه‌سازی‌ها برای سه کنترل کننده انتگرالی تناسبی مرتبه کسری و انتگرالی تناسبی مرتبه صحیح و انتگرالی تناسبی فازی انجام شده است که برای کنترل کننده‌های انتگرالی تناسبی مرتبه کسری و صحیح، توربین بادی برای نقطه تنظیم توان $4/8$ مگاوات و سرعت باد 13 متر بر ثانیه، خطی‌سازی شده است، همچنین مرتبه کسری $0/5$ در نظر گرفته شده است. برای ارزیابی عملکرد کنترل کننده‌ها در [۲۰] از معیار انتگرال حاصل ضرب زمان

مترا بر ثانیه در نظر گرفته شده است و ناحیه عملیاتی دوم برای سرعت‌های کمی بالاتر از سرعت مجاز باد می‌باشد که تقریباً 14 متر بر ثانیه می‌باشد، سپس برای طراحی کنترل کننده، دو روش مختلف خطی‌سازی را به کار بردۀ است و کنترل کننده‌ای را که با روش اول، خطی‌سازی شده است نوع A و کنترل کننده‌ای که با روش دوم خطی‌سازی شده است را نوع B نامیده است سپس این دو روش را مورد ارزیابی قرار داده است. یک تفاوت عمده بین نوع A و نوع B در [۱۷] سادگی آن‌ها می‌باشد زیرا مدل A دارای مرتبه‌های به مراتب بالاتر می‌باشد در حالی که مدل B مرتبه‌های پایین‌تری دارد که باعث سادگی طرح می‌شود و بنابراین در [۱۷] توصیه می‌شود که طرح‌های کنترلی برای طراحی کنترل کننده‌های MPC^{۱۰} برای توربین‌های بادی بزرگ ارائه شده است. کنترل کننده‌های گام در این مقاله به منظور حفظ سرعت و توان مجاز در سه ناحیه عملیاتی توربین‌های بادی عمل می‌کنند. توربین بادی در مقاله [۱۸] با مدل فازی تاکاگی سوگنو (T-S^{۱۱}) مدل سازی شده است و مدل کنترل کننده پیش بین بر اساس مدل فازی با توجه به محدودیت‌های عملکرد گام طراحی شده است. مقاله [۱۸] کنترل هماهنگ زاویه گام پره ژنراتورهای توربین بادی و وسایل نقلیه هیبریدی متصل به برق را برای کنترل فرکانس بار میکرو شبکه با استفاده از مدل کنترل کننده‌های کنترلی آینده را به می‌دهد. MPC ها یک مدل موثر بر اساس کنترل پیش بین هستند به طوریکه محاسبات سیگنال‌های کنترلی آینده را به وسیله‌ی روش بهینه‌سازی با استفاده از مدل پلت فلی و سیگنال‌های گذشته سیستم محاسبه می‌کند [۱۸]. در مرجع [۱۹] یک مطالعه شبیه‌سازی برای کنترل سرعت توربین بادی انجام شده است تا عملکرد و اثربخشی کنترل کننده $PI^\lambda D^m$ ^{۱۲} خود تنظیم حلقه بسته مطلوب را نشان بدهد. نتیجه نهایی [۱۹] این بوده است که توانسته یک تکنیک جدید برای تنظیم کنترل کننده $PI^\lambda D^m$ ارائه دهد که هدف آن کنترل سرعت توربین بادی بوده که در مدل ریاضی به کار برد شده نیاز به کنترل کننده مقاوم بوده است. از مزایای اصلی روش گفته شده در مقاله [۱۹] سادگی آن است که می‌توان پارامترهای کنترل کننده را مستقیم از پارامترهای پلت و با توجه به ویژگی‌های مطلوب به دست آورد.

در مرجع [۲۰] یک سیستم ترکیبی که به صورت توربین بادی و پیل سوختی می‌باشد، استفاده شده است. مدل سازی توربین بادی سرعت متغیر شامل یک توربین محور افقی همراه

Fractional Order Proportional Integral^۸
Wind energy converter system^۹

Model predictive control^{۱۰}
Takagi-Sugeno^{۱۱}

موجود در نقاط مختلف پره را در نظر بگیریم. در ادامه به معرفی ضریب توان (C_p) می‌پردازیم.

ضریب توان نسبت توان آبودینامیکی جذب شده توسط توربین به کل توان آبودینامیکی موجود در جریان باد است. ضریب توان به سرعت متوسط باد، سرعت زاویه‌ای روتور و شرایط چرافیایی بستگی دارد [۲۲]. اما در حالت کلی می‌توان تغییرات ضریب توان ($C_p(\lambda, \beta)$) را به صورت تابعی از پارامتر زاویه گام پره (β) و نسبت سرعت نوک^{۱۱} (λ) نشان داد. که λ نرخ سرعت باد در بالای پره نسبت به سرعت باد منطقه است که با رابطه‌ی^{۱۲} نشان داده‌می‌شود. بر اساس تحقیقات قبلی، مقدار ضریب توان نمی‌تواند از $16.27 = C_{p max}$ بیشتر بشود که به آن حد بتز^{۱۳} می‌گویند. توان آبودینامیکی یک سطح مشخص از جریان باد به صورت زیر محاسبه می‌گردد [۲۳].

$$P_a = \frac{1}{2} \rho A V^3, \quad A = \pi R^2 \quad (1)$$

V سرعت باد، ρ چگالی هوا، R شعاع روتور، A کل سطح جاروب شده توسط پره‌ها و P_a کل توان آبودینامیکی موجود در سطح موردنظر از جریان باد است. بنابراین ضریب توان را می‌توان از رابطه‌ی^(۳) و^(۴) محاسبه کرد.

$$C_p = \frac{P}{P_a} = \frac{P}{\frac{1}{2} \rho \pi R^2 V^3} \quad (2)$$

$$P = \frac{1}{2} C_p \rho \pi R^2 V^3 \quad (3)$$

$$\lambda = \frac{\omega_r R}{V_{wind}} \quad (4)$$

P توان منتقل شده به توربین، R شعاع روتور و ω سرعت زاویه‌ای روتور می‌باشد [۲۴]. برای مدل‌سازی بخش مکانیکی توربین بادی از رابطه‌ی^(۱-۳) استفاده می‌شود. ورودی‌های مدل آبودینامیکی، دور ژنراتور، سرعت باد و زاویه گام هستند، خروجی آن هم گشتاور آبودینامیک است. مطابق رابطه^(۳)، توان دریافتی باد ابتدا توسط توربین و سپس گشتاور آبودینامیکی محاسبه می‌شود.

۲-۲ اجزای الکتریکی شامل ژنراتور و مبدل الکترونیک قدرت توربین بادی

در قدرمطلق خطا (ITAE^{۱۴}) استفاده شده‌است. نتایج مقایسه نشان داده‌است که کنترل‌کننده FOPI عملکرد سیستم را با توجه به خطای سیستم و تلاش کنترلی سیستم نسبت به کنترل‌کننده کلاسیک مرتبه صحیح ارتقاء‌بخشیده است [۲۱]. برتری کنترل‌کننده انتگرالی تناصی فازی بر دو کنترل‌کننده دیگر این بود که برای مدل غیرخطی سیستم هم به کار می‌رود و برعکس دو کنترل‌کننده دیگر، نیازی به خطی‌سازی سیستم نبوده است و همچنین عدم قطعیت‌ها را به خوبی با مدل فازی می‌توان مدل کرد. اما اشکال این روش عدم بهینه‌سازی بهره‌های کنترل‌کننده می‌باشد در حالی که در روش پیشنهادی در این پژوهش، از فازی برای بهینه‌سازی بهره‌های کنترل‌کننده PI^{۱۵} استفاده شده است که در هر سرعتی از باد به صورت آنلاین بهترین بهره‌ها را خواهیم داشت که در جدول مناسبی آورده‌ایم. در واقع سیستم فازی آموزش داده شده، بهره‌های مناسب کنترل‌کننده را در سرعت‌های مختلف باد تعیین می‌کند.

در ادامه موضوعات بر این قرار است: در بخش ۲ مدل‌سازی توربین بادی شرح داده شده است و در بخش ۳ استراتژی‌های کنترلی و در بخش ۴ روش طراحی کنترل‌کننده پیشنهادی بر روی یک نمونه توربین بادی ۱۰۰ کیلووات سرعت متغیر ارائه شده است و در بخش پنجم شبیه‌سازی‌ها و نتایج شبیه‌سازی بر روی توربین بادی مدل معیار آورده شده است.

۲-مدل‌سازی توربین بادی

هدف از مدل‌سازی توربین بادی دست‌یابی به یک مدل دقیق ریاضی است که با استفاده از معادلات سیستم بتوان ضمن حفظ محدودیت‌ها و ایمنی، به حداکثر توان دست یافت. اجزای اصلی سازنده توربین بادی شامل پره، سیستم انتقال قدرت یا جعبه دندۀ، ژنراتور و مبدل الکترونیک قدرت می‌باشد و به دو بخش مکانیکی و الکتریکی تقسیم می‌شوند. در بعضی از توربین‌های بادی، سیستم انتقال قدرت حذف شده و نیروی پره‌ها مستقیماً به ژنراتور منتقل می‌شود که اصطلاحاً Direct drive نامیده می‌شوند.

۱-۲ آبودینامیک

در توربین‌های بادی دو عامل مهم یعنی نیروهای حاصل از تراکنش باد و پره‌های توربین باعث ایجاد حرکت می‌شوند. بنابراین از قسمت‌های مهم شبیه‌سازی رفتار توربین بادی، تعیین نیروهای آبودینامیکی خواهد بود که برای این هدف باید یک مدل مناسب در اختیار داشته باشیم. برای به دست آوردن یک مدل ساده و مناسب باید تاثیر برآیند نیروهای

Tip speed ratio^{۱۱}
Betz^{۱۲}

The integral of time multiplied by the absolute value^{۱۳}

$$\omega_e = P\omega_g = PN\omega_m \quad (7)$$

$$T_e = T_\omega + B\omega_m + J \frac{d}{dt} \omega_m \quad (8)$$

در روابط بالا، N نسبت تبدیل گیریکس، ω_g سرعت مکانیکی ژنراتور، P تعداد زوج قطب‌ها، J ممان اینرسی و T_e گشتاور الکترومکانیکی ژنراتور است.

معادلات الکتریکی PMSG در چهارچوب مرجع سنکرون محور d و محور q به صورت زیر داده شده است [۲۸].

$$u_d = R_s i_d + \frac{d}{dt} L_d i_d - \omega_e L_q i_q \quad (9)$$

$$u_q = R_s i_q + \frac{d}{dt} L_q i_q + \omega_e (L_d i_d + \phi) \quad (10)$$

$$T_e = \frac{3}{2} P ((L_d - L_q) i_d i_q + \phi i_q) \quad (11)$$

که u_d و u_q ولتاژ محورهای d و q جریان محورهای d و q هستند. R_s مقاومت استاتور، L_d و L_q اندوکتانس محورهای d و q و ϕ شار مغناطیس دائم است [۲۸]. با فرض $L_d = L_q = L$ معادلات (۹) تا (۱۱) را می‌توان به صورت زیر نوشت:

$$\frac{d}{dt} i_d = -\frac{R_s}{L} i_d + \omega_e i_q + \frac{1}{L} u_d \quad (12)$$

$$\frac{d}{dt} i_q = -\frac{R_s}{L} i_q - \omega_e i_d - \frac{\omega_e \phi}{L} + \frac{1}{L} u_d \quad (13)$$

$$T_e = \frac{3}{2} P \phi i_q \quad (14)$$

برای مدل‌سازی مبدل‌های مورد استفاده در سیستم توربین بادی سرعت متغیر، مبدل پشت به پشت (back to back) بیشترین کاربرد را دارد. مزیت این مبدل نسبت به سایر مبدل‌ها، ساختار ساده‌ی آن، سیستم کنترلی ساده و مهم‌تر از همه هزینه پایین آن در مقایسه با ساختارهای سه طحی می‌باشد. برای حذف اغتشاشات هارمونیکی هم از یک فیلتر خروجی استفاده می‌شود. این مبدل شامل دو مبدل منبع ولتاژی شش سوئیچ با یک خازن در بین آنها است که معمولاً به آن خازن لینک DC یا خازن جداساز گفته می‌شود که مقدار آن در این پروژه برابر ۶۸۰۰۰ میکروفاراد است. برای مبدل سمت شبکه (GSC) و مبدل سمت ژنراتور (MSC) کنترل کننده‌های PI به صورت جداگانه برای تنظیم جریان ژنراتور و توان تحویلی به شبکه در نظر گرفته می‌شوند. مبدل سمت ژنراتور (MSC) باید حداقل توان ممکن را با کنترل سرعت توربین از ژنراتور دریافت کند و به لینک خازنی بین دو مبدل تحویل بدهد. وظیفه مبدل سمت ژنراتور حداقل کردن

بخش قدرت توربین بادی شامل یک ساختار ژنراتور سنکرون مغناطیس دائم (PMSG) است که از طریق مبدل کامل پشت به پشت^{۱۳} به شبکه AC متصل می‌شود. این سیستم مبدل از مبدل سمت ماشین ($^{(4)}\text{MSC}$) و مبدل سمت شبکه ($^{(5)}\text{GSC}$) تشکیل شده است. برای به دست آوردن بیشترین انرژی باد، سرعت زاویه‌ای روتور^{۱۴} باید از طریق MSC کنترل شود هرچند GSC نیز مسئولیت تغذیه انرژی تولید شده به شبکه برق متناوب AC را دارد. ژنراتور مورداستفاده در توربین‌های بادی غالباً از نوع ژنراتور سنکرون مغناطیس دائم (PMSG) از دو قسمت اصلی تشکیل شده است: الف) قسمت ساکن که استاتور است. ب) قسمت گردان به نام آرمیچر یا القا شونده که عمل تبدیل انرژی الکتریکی در ژنراتورها را انجام می‌دهد. ژنراتورهای سنکرون مقایسه با سایر ژنراتورها، بازده بالاتری در توان‌های بالا دارد و همچنین دارای قابلیت کنترل ولتاژ پایانه و توان راکتیو می‌باشد، به همین علت کاربرد فراوانی در زمینه تولید انرژی الکتریکی دارد [۲۵ و ۲۶]. کاربرد این ژنراتور در توربین‌های بادی می‌باشد به طوری که ژنراتورهای مورد استفاده در نسل قبلی توربین‌های بادی از نوع آسنکرون می‌باشد که در آن‌ها برای ایجاد ولتاژ و فرکانس موردنظر از گیریکس استفاده می‌شود. با استفاده از این ژنراتور دیگر احتیاج به گیریکس نیست و پره به طور مستقیم به ژنراتور متصل می‌شود.

لذا در این مقاله برای طراحی و شبیه‌سازی توربین بادی در نرم افزار متلب از ژنراتور PMSG استفاده شده است. در توربین بادی، باد باعث حرکت پره‌های توربین می‌گردد و این پره‌ها به روتور ژنراتور سنکرون متصل هستند. با چرخش روتور نیز انرژی الکتریکی در ژنراتور سنکرون بسته به میزان سرعت باد تولید خواهد شد.

معادله مربوط به توان آیرودینامیکی تولید شده توسط پره و گشتاور آیرودینامیک به ترتیب به صورت رابطه (۵) و (۶) می‌باشد [۲۷]:

$$P_\omega = \frac{\rho \pi R^\lambda C_p(\lambda, \beta)}{2} \quad (5)$$

$$T_\omega = \frac{P_\omega}{\omega_m} = \frac{\rho \pi R^\lambda C_p(\lambda, \beta)}{2\lambda} \quad (6)$$

مدل‌سازی جعبه دنده به صورت روابط (۷) و (۸) می‌باشد:

full converter back to back^{۱۳}

Machine side converter^{۱۴}

Grid side converter^{۱۵}

Permanent magnet synchronous generator^{۱۶}

$$\omega'_k = \omega_b \left(\frac{\omega_h}{\omega_b} \right)^{\frac{k+N+\frac{1}{\gamma}(1-\gamma)}{\gamma N+1}}$$

$$\omega_k = \omega_b \left(\frac{\omega_h}{\omega_b} \right)^{\frac{k+N+\frac{1}{\gamma}(1+\gamma)}{\gamma N+1}} \quad \text{و} \quad k = \omega_h^{\gamma}$$

٪ مرتبه مشتق یا انتگرال کسری و $2N+1$ مرتبه تقریب است. مطالعات اخیر نشان می‌دهد که تقریب Oustaloup از مرتبه ۵ برای عناصر مرتبه کسری در حوزه $\omega \in \{10^{-2}, 10^2\}$ رادیان رادیان بر ثانیه، رایج ترین و کاربردی ترین تقریب برای سیستم‌های کنترلی می‌باشد.

۲-۳ طراحی کنترل کننده PI کلاسیک برای کنترل زاویه گام توربین بادی

برای طراحی کنترل کننده PI کلاسیک در کنترل زاویه گام توربین بادی از پاسخ ورودی پله در زاویه گام استفاده شده است. به این ترتیب که ابتدا زاویه گام ۲ درجه و سرعت باد $\frac{m}{s} = 10$ در نظر گرفته شده است، سپس زاویه گام یک درجه افزایش یافته و در این حالت افت دور ژنراتور مشاهده می‌شود، از روی پاسخ شکل سرعت ژنراتور، مقدار تاخیر و ثابت زمانی را به دست آورده و بعد از آن مقادیر بهره‌های تناسبی و انتگرالی با روش زیگلر نیکولز^{۱۸} حلقه باز به دست آمده است. مقدار تاخیر $\tau_d = 0.04$ و ثابت زمانی $T_i = 0.09$ و بهره‌ی $k_p = 5/0.04$ حسب رادیان بر ثانیه و برای سرعت دوران پره محاسبه می‌شود زیرا هدف تغییر زاویه گام پره می‌باشد. همچنین مقدار بهره برابر $k_i = 45/0.09$ است. $T_i = 0.09$

۳-۳ طراحی کنترل کننده PI^λ

برای طراحی کنترل کننده تناسبی-انتگرالی مرتبه کسری از روش طراحی زیگلر نیکولز در مرجع [۳۰] استفاده شده است. برای این رویکرد، نخست پاسخ S شکل حلقه باز را به دست آورده و پس از آن مقدار تاخیر τ_d و ثابت زمانی τ از روی پاسخ حلقه باز یادداشت شده است. و با استفاده از این داده‌ها مقدار P و I و λ (مرتبه انتگرال کسری) برای کنترل کننده PI^λ به دست آمد. بهره تناسبی با استفاده از روش موجود در [۳۰] برابر $3/177$ ، و بهره انتگرالی $3/89$ به دست آمد و همچنین مرتبه انتگرال گیر برابر 0.9 مقدار ثابت در نظر گرفته شده است. سپس با

میزان توان رآکتیو جذب شده یا تولید شده توسط ژنراتور نیز می‌باشد.

از طرف دیگر مبدل سمت شبکه (GSC) توان موجود را از لینک خازنی به شبکه تحویل می‌دهد. در واقع وظیفه این مبدل هماهنگی با شبکه قدرت می‌باشد تا تواند توان رآکتیو و رآکتیو موردنیاز را به شبکه تحویل بدهد و علاوه بر این مقدار ولتاژ لینک خازنی را ثابت کند.

۳-استراتژی کنترل

۱-کنترل کننده‌های مرتبه کسری

حسابان کسری، که یکی از شاخه‌های علم ریاضیات به شمار می‌آید به نوعی از تعاریف انتگرال و مشتق کلاسیک استخراج می‌شود [۲۹]. حساب دیفرانسیل و انتگرال کسری یک تعیین دیفرانسیل و انتگرال مرتبه غیر صحیح است. با aD_t^α نشان داده می‌شود، a و t دامنه عملیات و $\alpha \in R$. که به صورت زیر نشان داده می‌شود.

$$aD_t^\alpha = \begin{cases} \frac{d^\alpha}{dt^\alpha}, & \alpha > 0, \\ 1, & \alpha = 0, \\ \int_a^t (d\tau)^\alpha, & \alpha < 0. \end{cases} \quad (15)$$

به طور کلی کنترل کننده‌های مرتبه کسری را می‌توان به چهار دسته کنترل کننده‌های CRONE، کنترل کننده های TID^{۱۷}، کنترل کننده‌های پس فاز و پیش فاز جبران ساز و مهم‌تر از همه کنترل کننده‌های مرتبه کسری $PI^\lambda D^\mu$ با انتگرال گیر از مرتبه کسری λ و مشتق گیر از مرتبه کسری μ تقسیم‌بندی کرد [۲۹].

در این مقاله برای کنترل زاویه گام توربین بادی از کنترل کننده PID^λ استفاده کرده‌ایم زیرا کنترل کننده PI^λ دارای ساختار ساده‌تر، طراحی آسان و هزینه‌های کمتری در صنعت می‌باشد.تابع انتقال کنترل کننده PI^λ در حوزه لاپلاس به صورت زیر است:

$$C(s) = K_p + \frac{K_i}{s^\lambda} \quad (16)$$

برای تقریب کنترل کننده تناسبی انتگرالی مرتبه کسری از تقریب اوستالوپ استفاده می‌کنیم. این تقریب را به صورت رابطه (۱۷) نشان می‌دهیم:

$$S^\gamma = k \prod_{k=-N}^N \frac{S + \omega'_k}{S + \omega_k} \quad (17)$$

این تقریب در محدوده فرکانسی (ω_h و ω_b) صادق است. در این رابطه داریم:

^{۱۸} Ziegler Nichols

Tilted integral derivative controller^{۱۷}

شده استفاده شده تا فازی ساخته شود یعنی به جای ضرایب K_p و T_i حالا سیستم فازی در اختیار می‌باشد. فازی سبب می‌شود تا در سرعت‌های مختلف باد ضریب مناسب وجود داشته باشد. در ضمن از آجایی که در سرعت‌های مختلف باد، مقدار μ نزدیک به $0/9$ به دست آمد، بنابراین مرتبه انتگرال‌گیر $0/9$ در نظر گرفته شده است.

حال داده‌های به دست آمده برای تنظیم سیستم فازی در جدول ۱ نشان داده شده است.

جاگذاری این مقادیر در بلوک‌های کنترل کننده در قسمت سیمولینک نرم افزار متلب، پاسخ سرعت به دست آمده است.

۴-۳ طراحی کنترل کننده فازی PI^λ

در این بخش برای طراحی کنترل کننده فازی PI^λ ، با کمک سیستم فازی بهره‌های کنترل کننده PI^λ در هر سرعتی از باد، به صورت بهینه به دست آمده است. به این ترتیب که ابتدا بهره‌های کنترل کننده PI^λ در هر سرعتی از باد با روش موجود در [۳۰] به دست آمده یعنی برای سرعت‌های مختلف باد کنترل کننده PI^λ طراحی شده است. سپس از داده‌های تولید

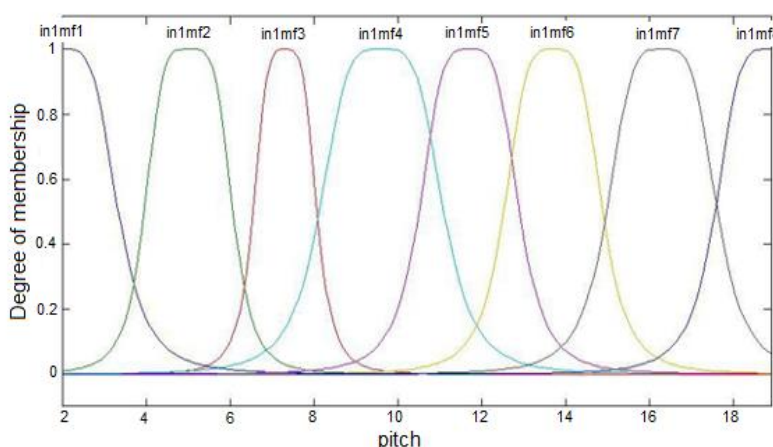
جدول(۱): مقادیر بهره‌ها و زاویه گام مناسب در سرعت باد مشخص

λ	مقدار گام در ۳۲۵ دور در دقیقه	T_i	k_p	باد
۰/۸۵	۳/۵	۳/۸۹۲	۳/۱۷۷	۱۰
۰/۸۹	۶	۳/۵	۱/۷۹	۱۱
۰/۹۵	۷/۹	۳/۴۵۱	۰/۰۹۵	۱۲
۰/۹۹۹	۹/۶	۳/۳۴	۱/۶۰۴	۱۳
۱/۱۶	۱۱/۱	۲/۹۹	۱/۱	۱۴
۰/۰۴۵	۱۲/۵	۲/۶۹	۰/۸۲	۱۵
۱/۰۶	۱۴	۲/۳۴	۰/۷۷	۱۶
۱/۰۷۹	۱۵/۲	۲/۱۱	۰/۶۹	۱۷
۱/۰۸۷	۱۶/۵	۲/۰۲	۰/۳۳	۱۸
۱/۱۲	۱۷/۷	۱/۴۸	۰/۱۹	۱۹
۱/۱	۱۸/۹	۱/۷۱	۰/۰۲۵	۲۰

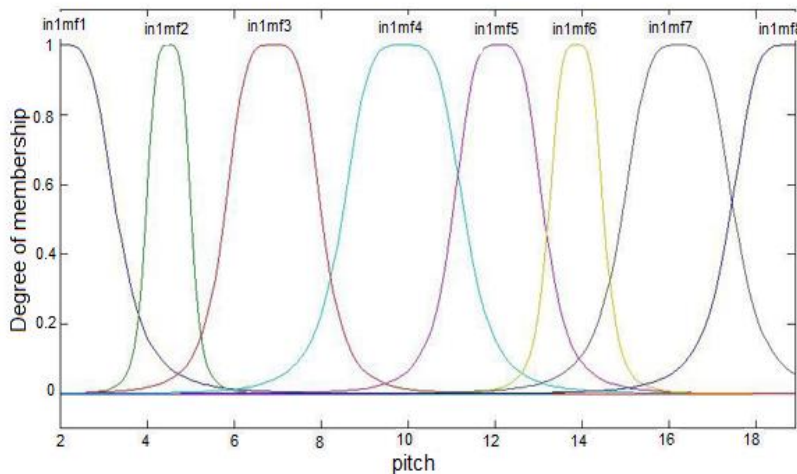
شکل‌های (۱) و (۲) نشان داده شده است که برای هر هشت تابع عضویت نیز یک قانون موجود است که به صورت زیر می‌باشد:

If pitch is MF_i then k_p is w_i , $i=1,2,\dots,8$
 If pitch is MF_i then T_i is w_i , $i=1,2,\dots,8$
 مقدار بهره‌ی خروجی در قانون w_i می‌باشد که بهینه شده است.

بنابراین در کنترل کننده فازی، سیستم‌های فازی جایگزین بهره تناسبی و بهره انتگرالی می‌شود. به این صورت که برای هر کدام از بهره‌ها (تناسبی و انتگرالی) یک سیستم فازی به صورت جداگانه در نظر گرفته شده است. ورودی هر سیستم، زاویه گام و خروجی آن، مقدار ضریب k_p و T_i می‌باشد. همچنین برای بهره تناسبی و انتگرالی هر کدام هشت تابع عضویت گوسین و هشت قانون وجود دارد، که این توابع در



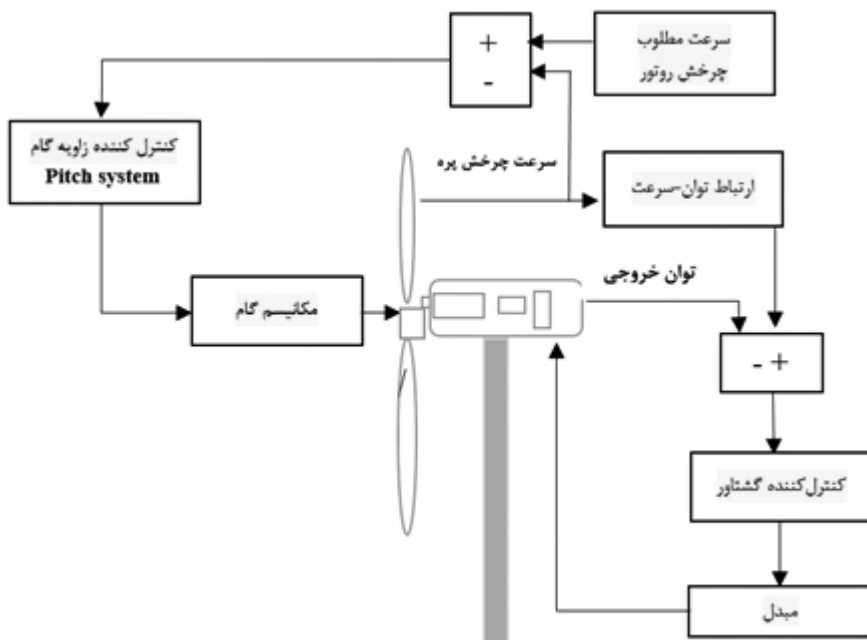
شکل(۱): توابع عضویت گوسین برای بهره تناسبی k_p

شکل(۲): توابع عضویت گوسین برای بهره انتگرالی T

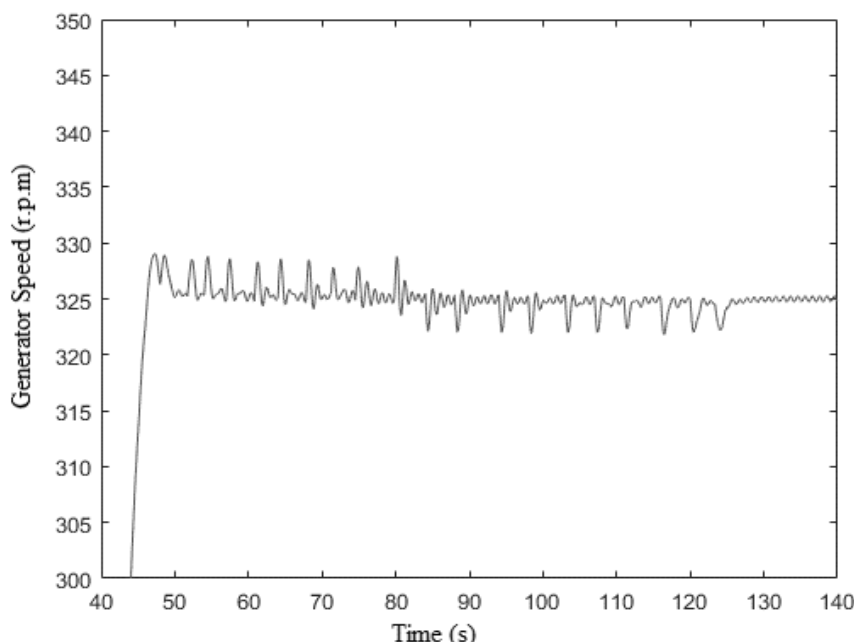
انتقال قدرت، ژنراتور و مبدل الکترونیک قدرت می‌باشد که به دو بخش مکانیکی و الکتریکی تقسیم می‌شوند. بخش مکانیکی شامل پره و سیستم انتقال قدرت و بخش الکتریکی شامل ژنراتور و مبدل الکترونیک قدرت است. مدل‌سازی بخش الکتریکی توربین بادی به همراه روابط ریاضی آن، در قسمت ۲-۲ توضیح داده شد. برای شبیه‌سازی بخش مکانیکی توربین بادی نیز از بلوک Aero_Forces متنب استفاده شده است که ورودی‌های این بخش دور ژنراتور، زاویه‌گام و سرعت باد و خروجی آن شامل گشتاور آبرودینامیک است. حال آزمون شبیه‌سازی بر روی سه کنترل‌کننده PI کلاسیک و PI^λ و فازی و PI^λ برای کنترل زاویه‌گام بر روی مدل معیار توربین بادی ۱۰۰ کیلووات انجام شده است و نتایج شبیه‌سازی‌ها برای پاسخ سرعت ژنراتور با کنترل‌کننده PI و PI^λ و فازی PI^λ به ترتیب در شکل‌های (۴)، (۶) و (۸) و همچنین توان خروجی توربین برای کنترل‌کننده PI و PI^λ و فازی PI^λ به ترتیب در شکل‌های (۵)، (۷) و (۹) نشان داده شده است.

۴. شبیه‌سازی‌ها و نتایج

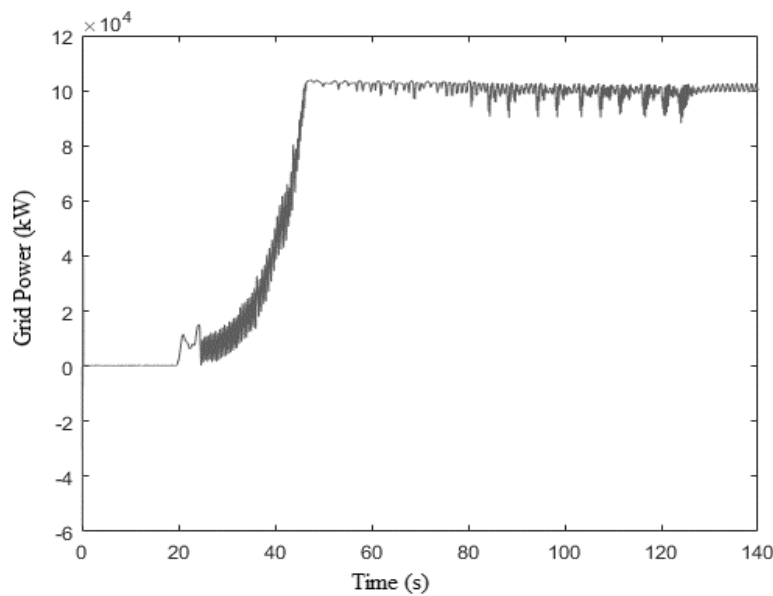
در بیشتر سیستم‌های صنعتی جهت افزایش دقیق در طراحی و مهم‌تر از همه، کاهش هزینه‌ها، نیاز به ابزاری می‌باشد که به کمک آن بتوان عملکرد بخش‌های مختلف سیستم را قبل از ساخت نمونه نهایی ارزیابی کرد. یکی از ابزارهای بسیار کارآمد، نرم افزارهای شبیه‌سازی می‌باشند که رفتار سیستم را در شرایط مختلف به خوبی نشان می‌دهند. از آنجایی که سیستم توربین بادی از آن دسته سیستم‌های صنعتی می‌باشد که دارای هزینه راه‌اندازی بالایی است، بنابراین در این بخش از محیط MATLAB نرم‌افزار simulink جهت شبیه‌سازی عملکرد سیستم توربین بادی در شرایط مختلف استفاده شده است. شکل کلی فلوچارت شبیه‌سازی، در شکل (۳) نشان داده شده است. به منظور شبیه‌سازی توربین بادی باید اجزا و زیرسیستم‌های آن شناسایی و شبیه‌سازی شوند. همانطور که در شکل (۳) مشخص است و طبق توضیحات بخش مدل‌سازی، اجزای اصلی سازنده توربین بادی شامل پره، سیستم



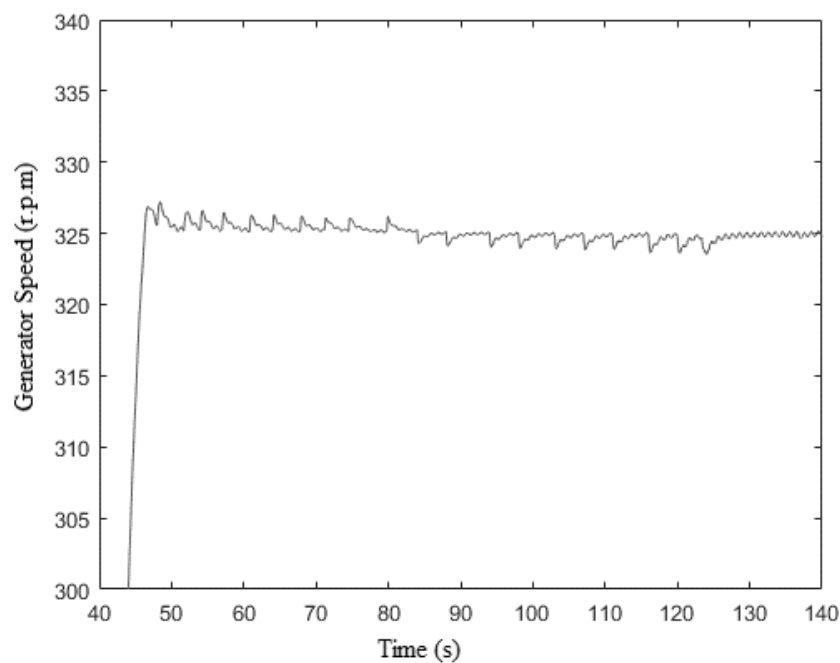
شکل(۳): فلوچارت مدل توربین بادی شبیه‌سازی شده



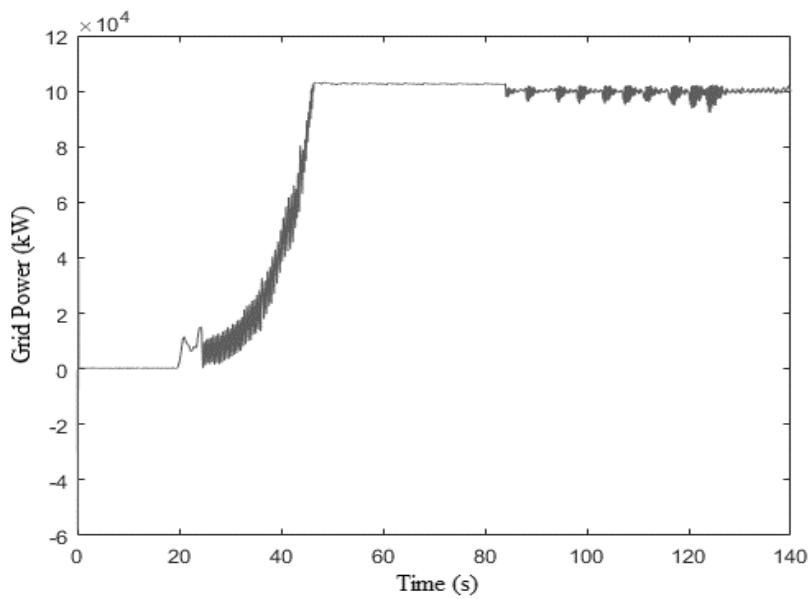
شکل(۴): پاسخ سرعت ژنراتور با کنترل کننده PI



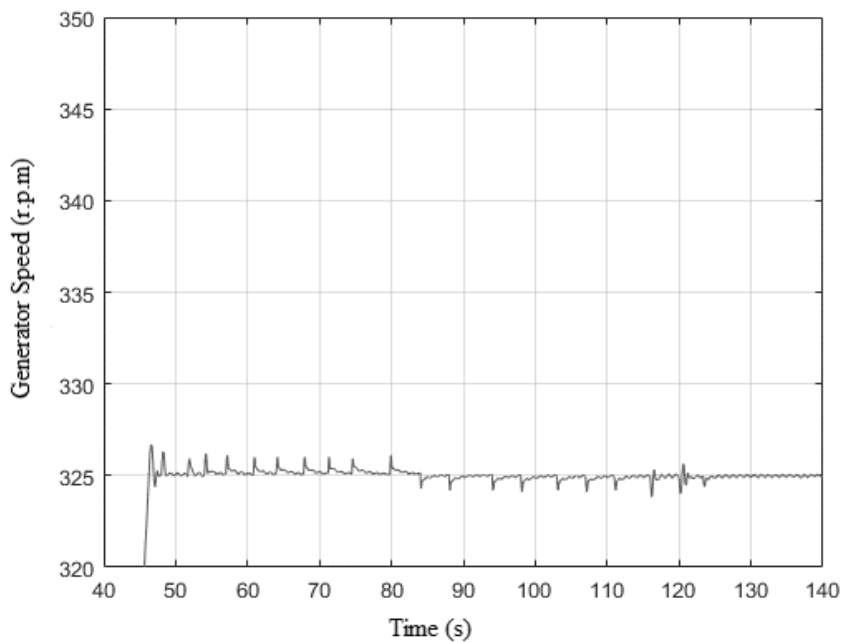
شکل(۵): توان خروجی توربین با کنترل کننده PI



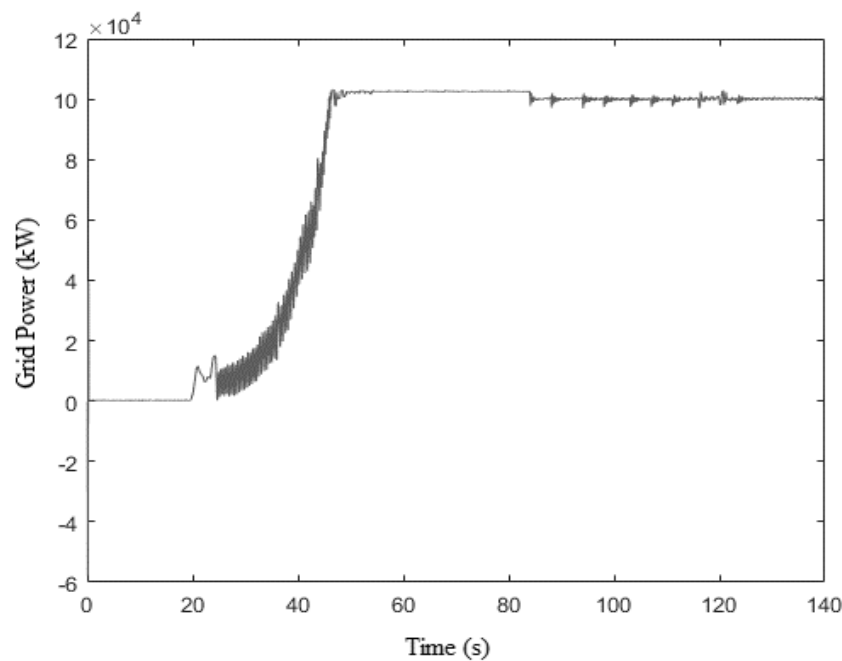
شکل(۶): پاسخ سرعت ژنراتور با کنترل کننده PI^2



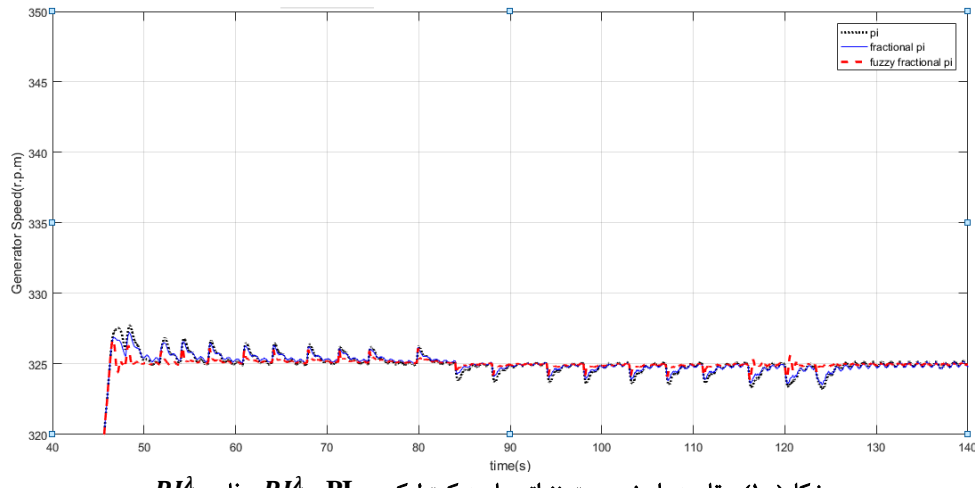
شکل (۷): توان خروجی توربین با کنترل کننده PI^λ



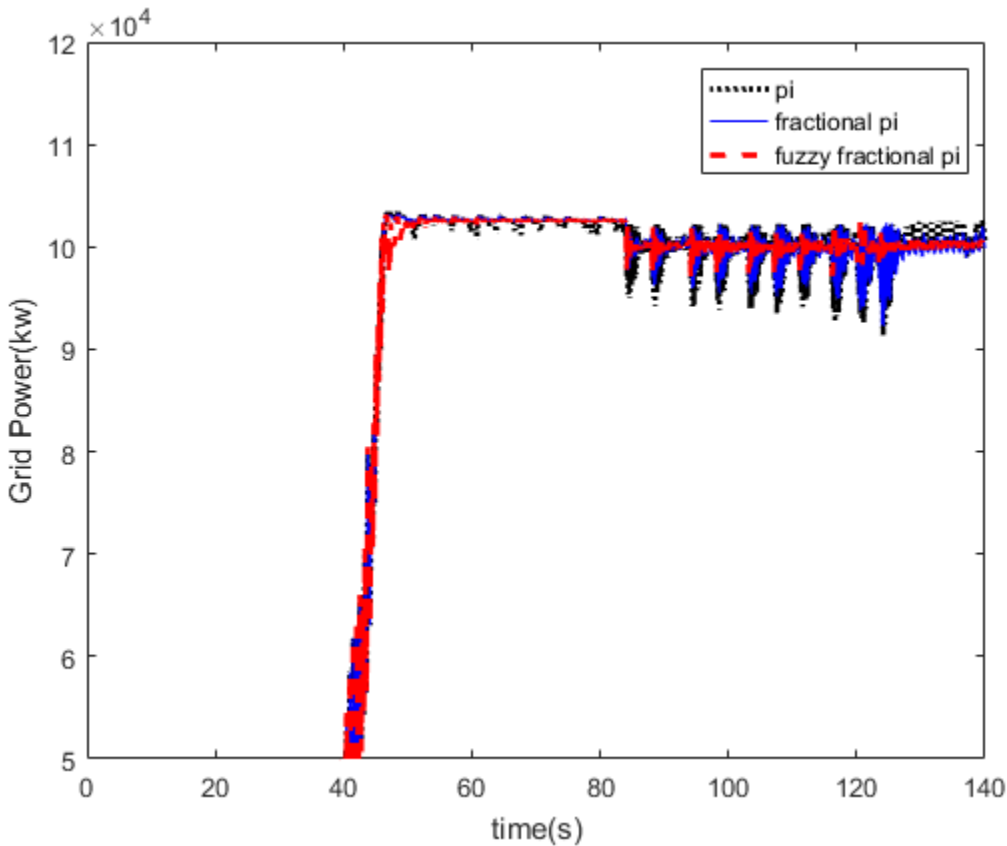
شکل (۸): پاسخ سرعت ژنراتور با کنترل کننده فازی PI^λ



شکل(۹): توان خروجی توربین با کنترل‌کننده فازی PI^λ



شکل(۱۰): مقایسه پاسخ سرعت ژنراتور با سه کنترل‌کننده PI و PI^λ و فازی PI^λ



شکل (۱۱): درشتنمایی توان خروجی سه کنترل کننده PI^λ و PI^λ و فازی PI^λ

معیار عددی مناسب مجدور میانگین مربعات خطای $(RMSE^{19})$ استفاده شده است.

با استفاده از معیار $RMSE$ می‌توان میزان مطلوبیت عملکرد سه کنترل کننده را دقیق‌تر بررسی کرد. نتایج به دست آمده در جدول (۲) نشان‌داده شده‌اند. برای محاسبه $RMSE$ از رابطه (۱۸) استفاده شده است. همانطور که در جدول (۲) مشاهده می‌شود، معیار $RMSE$ در مورد سرعت ژنراتور و توان خروجی توربین برای کنترل کننده فازی PI^λ ، مقدار کوچکتری نسبت به دو کنترل کننده دیگر به دست آمد. به این ترتیب برتری این کنترل کننده با قطعیت اثبات شد.

$$RMSE = \sqrt{\frac{1}{n} \sum_{i=1}^n (x_i - x_{namin})^2} \quad (18)$$

لازم به ذکر است که توان خروجی توربین با هر سه کنترل کننده طبق شکل‌های (۵)، (۷) و (۹) از ثانیه ۸۰ به بعد دارای نوسانات زیادی است به این علت که کنترل کننده برای افزایش سرعت باد و در واقع افزایش زاویه گام در ناحیه سوم توربین بادی طراحی شده است و از ثانیه ۸۰ به بعد سرعت باد در حال افت است و باید زاویه گام را کاهش داد، حال برای عملکرد بهتر و حذف این نوسانات بایستی که کنترل کننده برای کاهش زاویه گام به صورت جداگانه طراحی شود که نیاز به ملزومات خاصی دارد که در این مقاله از آن صرف نظر شده است.

همانطور که در شکل‌های (۱۰) و (۱۱) دیده می‌شود کنترل کننده فازی PI^λ پاسخ نرم‌تر و نوسانات کمتری نسبت به کنترل کننده PI و کنترل کننده PI^λ دارد. در حقیقت با استفاده از فازی در هر نقطه کار بهترین بهره‌های بهینه به دست آمده است و در جدولی ثبت شده است که جدول‌بندی بهره نامیده می‌شود. حال برای مقایسه سه کنترل کننده از

Root mean square error ^{۱۹}

جدول(۲): مقایسه سه کنترل کننده با معیار rmse

کنترل کننده فازی PI^λ	کنترل کننده PI^λ	کنترل کننده PI	
۰/۳۵۴۷	۰/۶۰۵۴	۰/۶۶	سعت ژراتور(rpm)
۱/۸۴	۲/۶۹	۳/۱۸۰۴	توان خروجی(KW)

Electric Industry Journal of Quality and Productivity ۱, no. ۲ (۲۰۱۳): ۸-۱۸.

[۱]: Safaei, Arman, Seyed Hossein Hosseini, and Hossein Askarian Abyaneh. "Fault Ride through Capability Improvement of the DFIG-Based Wind Turbine in Microgrid." *Iranian Electric Industry Journal of Quality and Productivity* ۶, no. ۲ (۲۰۱۸): ۳۴-۴۵.

[۲]: Abir, Afshar, Dhaoui Mehdi, and Sbita Lassaad. "Pitch angle control of the variable speed wind turbine." In ۲۰۱۷ ۱۱th International Conference on Sciences and Techniques of Automatic Control and Computer Engineering (STA), pp. ۵۸۲-۵۸۷. IEEE, ۲۰۱۷.

[۳]: Jesus, Isabel S., and Ramiro S. Barbosa. "Fuzzy fractional PID controller tuned through a PSO algorithm." In *CONTROLO'۲۰۱۴-Proceedings of the 11th Portuguese Conference on Automatic Control*, pp. ۲۰۷-۲۱۶. Springer, Cham, ۲۰۱۵.

[۴]: Rahmani, Mohsen, Ali Barootiha, and Mahmoud Samadi. "Robust Fuzzy Fractional-Order PID Controller Design using Multi-Objective Optimization." *J. Basic Appl. Sci. Res.* ۳, no. ۲ (۲۰۱۳): ۲۲۲-۲۳۶.

[۵]: Tian, Xiaomin, Yourui Huang, and Canming Zhang. "The tuning principle of adaptive fuzzy fractional-order PID controller parameters." *Procedia Engineering* ۸ (۲۰۱۰): ۲۵۱-۲۵۵.

[۶]: M. W. Foley, R. H. Julien, and B. R. Copeland, "A Comparison of PID Controller Tuning Methods," *The Canadian Journal of Chemical Engineering*, vol. ۸۳, no. ۴, pp. ۷۱۲-۷۲۲, ۲۰۰۸.

[۷]: Astrom, K. J., and T. Hagglund. "PID controllers: Theory, Design, and Tuning ۲nd Ed.. Instr." Society of America (۱۹۹۹).

[۸]: Tapia, Gerardo, Arantxa Tapia, and J. Xabier Ostolaza. "Two alternative modeling approaches for the evaluation of wind farm active and reactive power performances." *IEEE transactions on energy conversion* ۲۱, no. ۴ (۲۰۰۶): ۹۰۹-۹۲۰.

[۹]: Hand, M., and Mark Balas. "Systematic approach for PID controller design for pitch-regulated, variable-speed wind turbines." In ۱۹۹۸ ASME Wind Energy Symposium, p. ۳۱. ۱۹۹۸.

[۱۰]: Yin, Xiuxing, Wencan Zhang, Zhansi Jiang, and Li Pan. "Adaptive robust integral sliding mode pitch angle control of an electro-hydraulic servo pitch system for wind turbine." *Mechanical Systems and Signal Processing* ۱۳۳ (۲۰۱۹): ۱۰۵۷۰۴.

[۱۱]: Colombo, L., M. L. Corradini, G. Ippoliti, and G. Orlando. "Pitch angle control of a wind turbine operating above the rated wind speed: A sliding mode control approach." *ISA transactions* (۲۰۱۹).

[۱۲]: Lan, Jianglin, Ron J. Patton, and Xiaoyuan Zhu. "Fault-tolerant wind turbine pitch control using adaptive sliding mode estimation." *Renewable Energy* ۱۱۶ (۲۰۱۸): ۲۱۹-۲۳۱.

۵. نتیجه گیری

با توجه به اهمیت مسئله تنظیم مناسب زاویه گام توربین بادی در توربین‌های بادی سرعت متغیر، طراحی کنترل کننده موثر فازی PI^λ با کمک جدول‌بندی بهره مطرح شد. در حقیقت ابتدا سه روش کنترلی در مورد آن مورد آزمایش قرار گرفت. برای هر کدام از روش‌های کنترلی نحوه طراحی کنترل کننده توضیح داده شده است و سپس بر روی مدل توربین بادی مورد آزمون قرار گرفته است. سه کنترل کننده مورداً آزمایش، کنترل کننده‌های PI^λ , PI و فازی PI^λ می‌باشند، که همانطور از نتایج به دست آمد، کنترل کننده فازی PI^λ با کمک جدول‌بندی بهره برای کنترل زاویه گام نتایج بهتری را نشان داد. در طراحی کنترل کننده فازی PI^λ , از منطق فازی به تنهایی استفاده نمی‌کنیم بلکه سیستم فازی را برای تعیین بهره‌های کنترل کننده به صورت بهینه و با جدول‌بندی بهره‌بده کار می‌بریم. همانطور که نتایج آزمایش‌های کنترل کننده‌های پیشنهادی نشان می‌دهد در کنترل زاویه گام، کنترل کننده فازی PI^λ با توجه به شکل‌های رسم شده و همچنین معیار RMSE عملکرد بهتری را در مقایسه با کنترل کننده PI و کنترل کننده PI^λ دارد. به این صورت که کنترل کننده فازی PI^λ توانسته است به صورت نرم‌تر و هموارتر و با خطای کمتری، سرعت چرخش روتور و مقدار توان خروجی را در مقدار نامی خود تنظیم کند. بنابراین به طور کلی می‌توانیم نتیجه بگیریم که کنترل کننده مناسب برای کنترل زاویه گام، کنترل کننده‌ای است که بتواند خود را با تغییرات نقاط کار تطبیق داده و با ایجاد زاویه گام مناسب، سرعت توربین و توان تولیدی را بر روی مقادیر نامی آن‌ها به صورت نرم‌تری تنظیم کند.

مراجع

[۱]: Shamsnia, Ali, Hossein Hosseini, and Saeed Danyali. "Modeling and simulation of PV cell-wind turbine hybrid inverter with MPPT algorithms." *Iranian*

- [۲۸]: Slootweg, Han, and E. De Vries. "Inside wind turbines-Fixed vs. variable speed." *Renewable Energy World* ۱, no. ۱ (۲۰۰۳): ۳۰-۴۱.
- [۲۹]: Mann, George KI, Bao-Gang Hu, and Raymond G. Gosine. "Analysis of direct action fuzzy PID controller structures." *IEEE Transactions on Systems, Man, and Cybernetics, Part B (Cybernetics)* ۲۹, no. ۳ (۱۹۹۹): ۳۷۱-۳۸۸.
- [۳۰]: Valério, Duarte, and José Sá Da Costa. "Tuning of fractional PID controllers with Ziegler–Nichols-type rules." *Signal processing* ۸۶, no. ۱۰ (۲۰۰۶): ۲۷۷۱-۲۷۸۴.
- [۳۱]: Vieira, João PA, Marcus VA Nunes, Ubiratan H. Bezerra, and Walter Barra Jr. "Novas estratégias de controle fuzzy aplicadas ao conversor do DFIG para melhoria da estabilidade transitória em sistemas eólicos." *IEEE Latin America Trans* ۵, no. ۳ (۲۰۰۷): ۱۴۳-۱۵۰.
- [۳۲]: Civelek, Zafer. "Optimization of fuzzy logic (Takagi-Sugeno) blade pitch angle controller in wind turbines by genetic algorithm." *Engineering Science and Technology, an International Journal* (۲۰۱۹).
- [۳۳]: Asgharnia, Amirhossein, Reza Shahnazi, and Ali Jamali. "Performance and robustness of optimal fractional fuzzy PID controllers for pitch control of a wind turbine using chaotic optimization algorithms." *ISA transactions* ۷۹ (۲۰۱۸): ۲۷-۴۴.
- [۳۴]: Hur, Sung-ho, and Bill Leithead. "Model predictive control of a variable-speed pitch-regulated wind turbine." In *2017 UKACC 17th International Conference on Control (CONTROL)*, pp. ۱-۶. IEEE, ۲۰۱۷.
- [۳۵]: Lasheen, Ahmed, and Abdel Latif Elshafei. "Wind-turbine collective-pitch control via a fuzzy predictive algorithm." *Renewable energy* ۸۸ (۲۰۱۶): ۲۹۸-۳۰۶.
- [۳۶]: Pahasa, Jonglak, and Issarachai Ngamroo. "Coordinated control of wind turbine blade pitch angle and PHEVs using MPCs for load frequency control of microgrid." *IEEE Systems Journal* ۱۰, no. ۱ (۲۰۱۶): ۹۷-۱۰۵.
- [۳۷]: Viveiros, C., Rui Melício, José M. Igreja, and Víctor Manuel Fernandes Mendes. "Fractional order control on a wind turbine benchmark." In *2015 14th International Conference on System Theory, Control and Computing (ICSTCC)*, pp. ۷۱-۸۱. IEEE, ۲۰۱۵.
- [۳۸]: Viveiros, Carla, Rui Melício, José M. Igreja, and Victor MF Mendes. "Fuzzy, integer and fractional-order control: Application on a wind turbine benchmark model." In *2014 19th International Conference on Methods and Models in Automation and Robotics (MMAR)*, pp. ۲۵۲-۲۵۷. IEEE, ۲۰۱۴.
- [۳۹]: Yassin, H. M., H. H. Hanafy, and Mohab M. Hallouda. "Design and implementation of PI controllers of direct drive PMSG wind turbine system tuned by Linearized biogeography-based optimization technique." In *IECON 2017 - 43rd Annual Conference of the IEEE Industrial Electronics Society*, pp. ۴۰۷۲-۴۰۷۷. IEEE, ۲۰۱۷..
- [۴۰]: Vidal, Yolanda, Leonardo Acho, Ningsu Luo, and Christian Tutiven. "Hardware in the loop wind turbine simulator for control system testing." In *Wind Turbine Control and Monitoring*, pp. ۴۴۹-۴۶۶. Springer, Cham, ۲۰۱۴.
- [۴۱]: Onar, O. C., M. Uzunoglu, and M. S. Alam. "Dynamic modeling, design and simulation of a wind/fuel cell/ultra-capacitor-based hybrid power generation system." *Journal of power sources* ۱۶۱, no. ۱ (۲۰۰۷): ۷۰۷-۷۲۲.
- [۴۲]: Song, Juncai, Fei Dong, Jiwen Zhao, Siliang Lu, Shaokun Dou, and Hui Wang. "Optimal design of permanent magnet linear synchronous motors based on Taguchi method." *IET Electric Power Applications* ۱۱, no. ۱ (۲۰۱۷): ۴۱-۴۸.
- [۴۳]: El-Refaie, Ayman M. "Fractional-slot concentrated-windings synchronous permanent magnet machines: Opportunities and challenges." *IEEE Transactions on industrial Electronics* ۵۷, no. ۱ (۲۰۱۰): ۱۰۷-۱۲۱.
- [۴۴]: Burton, Tony, David Sharpe, and Nick Jenkins. *Handbook of wind energy*. John Wiley & Sons, ۲۰۰۱.